

Starkniederschlagshöhen und -spenden gemäß KOSTRA-DWD-2010R

Auswertungszeitraum von 1951 - 2010, Januar - Dezember

Rasterfeld: 80030

Zeile: 80

Spalte: 30

Seite: 1/2

| Dauerstufe D | Wiederkehrzeit T | | | | | | | | | | | | | | | | | | |
|--------------|------------------|------|------------|------|------------|------|------------|------|------------|-------|------------|-------|------------|-------|------------|-------|------------|-------|------------|
| | 1 a | | 2 a | | 3 a | | 5 a | | 10 a | | 20 a | | 30 a | | 50 a | | 100 a | | |
| min | Std | mm | l / (s ha) | mm | l / (s ha) | mm | l / (s ha) | mm | l / (s ha) | mm | l / (s ha) | mm | l / (s ha) | mm | l / (s ha) | mm | l / (s ha) | mm | l / (s ha) |
| 5 | | 5,5 | 183,3 | 6,7 | 223,3 | 7,5 | 250,0 | 8,4 | 280,0 | 9,6 | 320,0 | 10,8 | 360,0 | 11,5 | 383,3 | 12,5 | 416,7 | 13,7 | 456,7 |
| 10 | | 8,6 | 143,3 | 10,5 | 175,0 | 11,5 | 191,7 | 12,9 | 215,0 | 14,8 | 246,7 | 16,6 | 276,7 | 17,7 | 295,0 | 19,1 | 318,3 | 20,9 | 348,3 |
| 15 | | 10,6 | 117,8 | 12,9 | 143,3 | 14,3 | 158,9 | 16,1 | 178,9 | 18,4 | 204,4 | 20,7 | 230,0 | 22,1 | 245,6 | 23,9 | 265,6 | 26,2 | 291,1 |
| 20 | | 12,0 | 100,0 | 14,8 | 123,3 | 16,4 | 136,7 | 18,4 | 153,3 | 21,2 | 176,7 | 24,0 | 200,0 | 25,6 | 213,3 | 27,7 | 230,8 | 30,5 | 254,2 |
| 30 | | 13,8 | 76,7 | 17,3 | 96,1 | 19,4 | 107,8 | 22,0 | 122,2 | 25,5 | 141,7 | 29,0 | 161,1 | 31,1 | 172,8 | 33,7 | 187,2 | 37,2 | 206,7 |
| 45 | | 15,3 | 56,7 | 19,8 | 73,3 | 22,4 | 83,0 | 25,7 | 95,2 | 30,2 | 111,9 | 34,7 | 128,5 | 37,3 | 138,1 | 40,6 | 150,4 | 45,1 | 167,0 |
| 60 | | 16,2 | 45,0 | 21,5 | 59,7 | 24,6 | 68,3 | 28,5 | 79,2 | 33,8 | 93,9 | 39,2 | 108,9 | 42,3 | 117,5 | 46,2 | 128,3 | 51,5 | 143,1 |
| 90 | | 18,6 | 34,4 | 24,3 | 45,0 | 27,6 | 51,1 | 31,9 | 59,1 | 37,6 | 69,6 | 43,3 | 80,2 | 46,7 | 86,5 | 50,9 | 94,3 | 56,7 | 105,0 |
| 120 | 2 | 20,4 | 28,3 | 26,5 | 36,8 | 30,0 | 41,7 | 34,5 | 47,9 | 40,5 | 56,3 | 46,6 | 64,7 | 50,1 | 69,6 | 54,6 | 75,8 | 60,7 | 84,3 |
| 180 | 3 | 23,4 | 21,7 | 29,9 | 27,7 | 33,8 | 31,3 | 38,6 | 35,7 | 45,1 | 41,8 | 51,6 | 47,8 | 55,5 | 51,4 | 60,3 | 55,8 | 66,8 | 61,9 |
| 240 | 4 | 25,8 | 17,9 | 32,7 | 22,7 | 36,7 | 25,5 | 41,8 | 29,0 | 48,7 | 33,8 | 55,6 | 38,6 | 59,6 | 41,4 | 64,7 | 44,9 | 71,6 | 49,7 |
| 360 | 6 | 29,5 | 13,7 | 36,9 | 17,1 | 41,3 | 19,1 | 46,8 | 21,7 | 54,2 | 25,1 | 61,7 | 28,6 | 66,1 | 30,6 | 71,5 | 33,1 | 79,0 | 36,6 |
| 540 | 9 | 33,8 | 10,4 | 41,8 | 12,9 | 46,5 | 14,4 | 52,5 | 16,2 | 60,5 | 18,7 | 68,5 | 21,1 | 73,2 | 22,6 | 79,2 | 24,4 | 87,2 | 26,9 |
| 720 | 12 | 37,2 | 8,6 | 45,7 | 10,6 | 50,7 | 11,7 | 56,9 | 13,2 | 65,4 | 15,1 | 73,9 | 17,1 | 78,9 | 18,3 | 85,1 | 19,7 | 93,6 | 21,7 |
| 1080 | 18 | 42,6 | 6,6 | 51,8 | 8,0 | 57,1 | 8,8 | 63,9 | 9,9 | 73,0 | 11,3 | 82,2 | 12,7 | 87,6 | 13,5 | 94,3 | 14,6 | 103,5 | 16,0 |
| 1440 | 24 | 46,9 | 5,4 | 56,6 | 6,6 | 62,2 | 7,2 | 69,4 | 8,0 | 79,1 | 9,2 | 88,7 | 10,3 | 94,4 | 10,9 | 101,5 | 11,7 | 111,2 | 12,9 |
| 2880 | 48 | 59,2 | 3,4 | 71,3 | 4,1 | 78,4 | 4,5 | 87,4 | 5,1 | 99,5 | 5,8 | 111,7 | 6,5 | 118,8 | 6,9 | 127,7 | 7,4 | 139,9 | 8,1 |
| 4320 | 72 | 67,8 | 2,6 | 81,4 | 3,1 | 89,3 | 3,4 | 99,4 | 3,8 | 112,9 | 4,4 | 126,5 | 4,9 | 134,5 | 5,2 | 144,5 | 5,6 | 158,1 | 6,1 |

Angaben in mm: Bemessungsniederschlagswerte h(n)

Angaben in l / (s ha): Regenspende R(n) mit $R(n) = h(n) \times 1,666667 / D[\text{min}]$

Toleranzbereiche:

+/- 10 % für $1 a \leq T \leq 5 a$

+/- 15 % für $5 a < T \leq 50 a$

+/- 20 % für $50 a < T \leq 100 a$

Datenbasis: KOSTRA-DWD-2010R des Deutschen Wetterdienstes. Die Regenspende wurde auf Basis des Bemessungsniederschlags zur jeweiligen Andauer berechnet.

Für die Richtigkeit und Aktualität der Angaben wird keine Gewähr übernommen. Erstellt 07/2022.

Starkniederschlagshöhen und -spenden gemäß KOSTRA-DWD-2010R

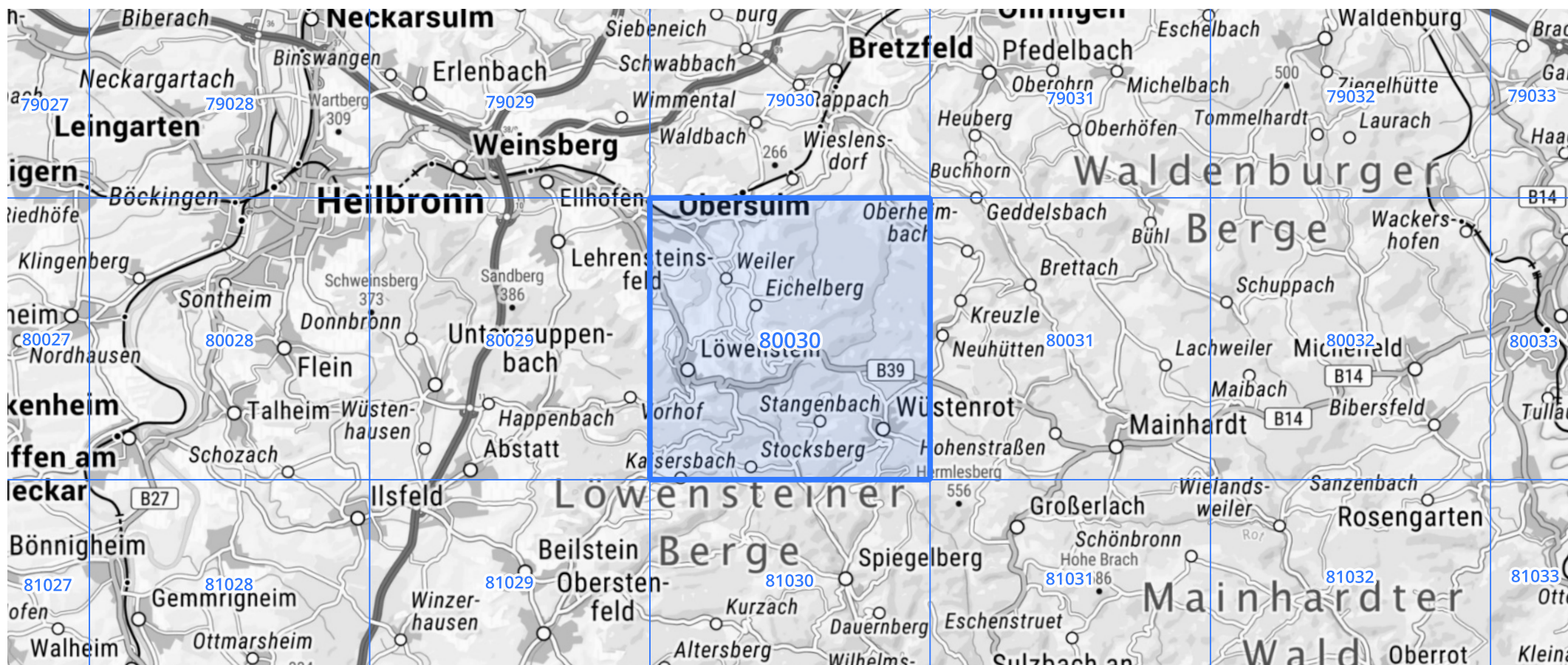
Auswertungszeitraum von 1951 - 2010, Januar - Dezember

Rasterfeld: 80030

Zeile: 80

Spalte: 30

Seite: 2/2



Quelle Rasterdaten: KOSTRA-DWD-2010R des Deutschen Wetterdienstes.

Kartendarstellung: © Bundesamt für Kartographie und Geodäsie (2022), Datenquellen: https://sgx.geodatenzentrum.de/web_public/gdz/datenquellen/Datenquellen_TopPlusOpen.html

Für die Richtigkeit und Aktualität der Angaben wird keine Gewähr übernommen. Erstellt 07/2022.